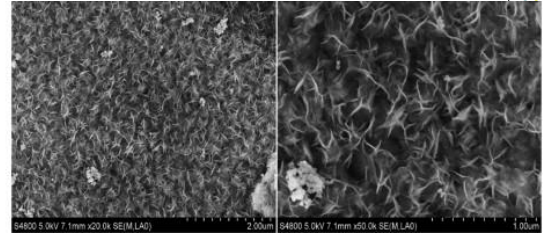


Processo de Deposição de Filmes Finos

Prof. José Humberto Dias da Silva
 POSMAT – Unesp

Filmes Finos – Diferentes Morfologias

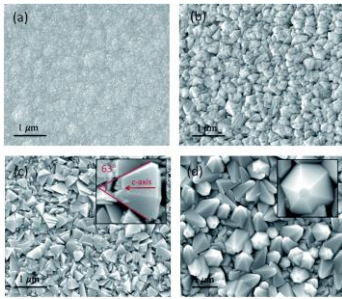


ZnO :Co – solvothermal - óxidos magnéticos

<https://doi.org/10.1016/j.jallcom.2011.06.066>

2

Filmes Finos – Diferentes Morfologias



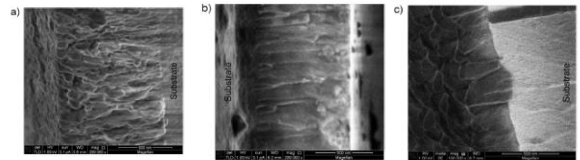
ZnO - CVD – células fotovoltaicas

DOI: 10.1039/c5ta00446b

3

Filmes Finos – Diferentes Morfologias

Temperatura de deposição



GaN sputtering – LEDs azuis - uv

<http://dx.doi.org/10.1063/1.4828873>



Effects of substrate temperature, substrate orientation, and energetic atomic collisions on the structure of GaN films grown by reactive sputtering

Ziani S. Schiaber, Douglas M. S. Leite, José R. R. Bortolotto, Paulo N. Lisboa-Filho, and José H. D. da Silva

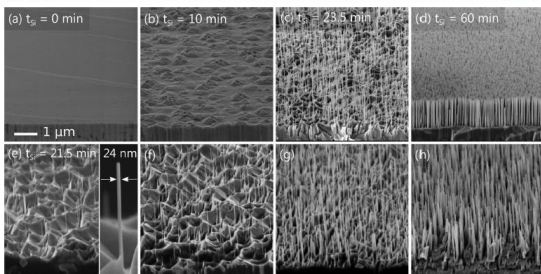
Citation: J. Appl. Phys. 114, 183515 (2013); doi: 10.1063/1.4828873

4

NANO LETTERS

Polarity-Induced Selective Area Epitaxy of GaN Nanowires

Ziani de Souza Schiaber,¹ Gabriela Calabrese,¹ Xiang Kong,¹ Achim Trampert,¹ Bernd Jenichen,¹ José Humberto Dias da Silva,¹ Luis Geiselhar,¹ Oliver Brandt,¹ and Sergio Fernandez Garrido²



5

Filmes Finos – Diferentes Morfologias

TiO₂/ Si(100)
 Sputtering fotocatalise células solares sensores biomateriais

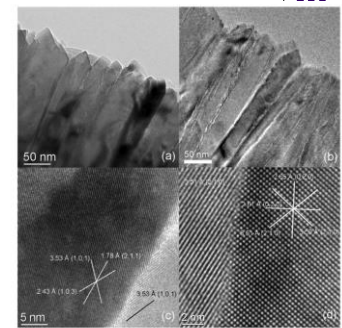


FIG. 1. Transmission electron microscopy of films deposited onto Si(100) sites using different O₂ gas flow conditions. (a) Interrupted O₂ flow



Enhancement of optical absorption by modulation of the oxygen flow of TiO₂ films deposited by reactive sputtering

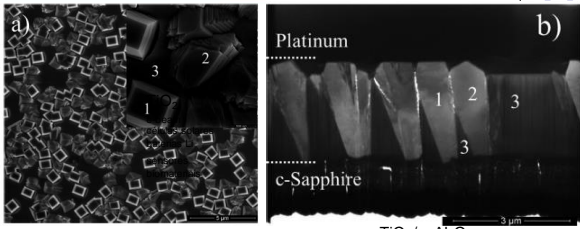
André L. J. Pereira, Paulo N. Lisboa-Filho, Javier Acosta, Ian B. Bratton, André A. Paes et al.

Citation: J. Appl. Phys. 111, 113103 (2012); doi: 10.1063/1.4724334

<http://dx.doi.org/10.1063/1.4724334>

6

Filmes Finos – Diferentes Morfologias



APPLIED ENERGY MATERIALS

Favoring the Reactivity of TiO_2 Films with Ideal Arrangement of Anatase and Rutile Crystallites

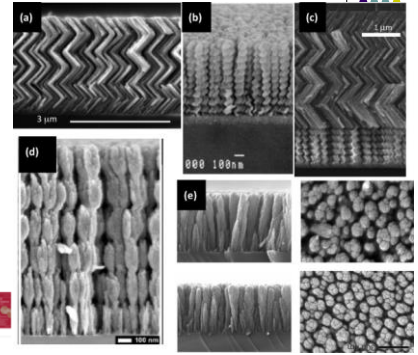
Art S. Brandt,¹ Daniel G. Stroppa,¹ Paulo N. Lisboa-Filho,¹ José H. D. da Silva,¹ and André A. Pasa¹

$\text{TiO}_2/\text{c-Al}_2\text{O}_3$

Sputtering
fotocatálise
células solares
sensores
biomateriais

DOI: 10.1021/acsaem.8b02171

Filmes Finos – Diferentes Morfologias



TiO_2

e-beam
células solares
baterias Li
sensores
biomateriais

Progress in Materials Science
Volume 76, March 2016, Pages 59–103

Perspectives on oblique angle deposition of thin films: From fundamentals to devices

Engh Bertram, Ana Barros, Agostino G. González-Espino & M. Alberto Pedraza

Fig. 2.2. Selected SEM micrographs of OAD evaporated TiO_2 thin films obtained by moving the substrate during Deposition. Other selected SEM images of TiO_2 ring morphology obtained by back and forth oblique evaporation of the substrate (10), the spiral morphology obtained by continuous azimuthal rotation (14), (b) rutile TiO_2 film after spiral evaporation (16), (c) rutile TiO_2 film after spiral evaporation (16), (d) rutile TiO_2 film after spiral evaporation (16), (e) rutile TiO_2 film after spiral evaporation (16).

<https://doi.org/10.1016/j.pmatsci.2015.06.003>

Vejam que pode haver uma grande variedade de morfologias para filmes depositados

Por que os filmes finos apresentam diferentes morfologias?

R: Por que há diferentes mecanismos envolvidos no crescimento

Quais são os mecanismos envolvidos no crescimento?

Quais as principais etapas do crescimento?

Formação de Filmes



Aula 2



13

Nucleação, Crescimento e Evolução Estrutural de Filmes Finos

O que acontece quando os átomos ou moléculas da fase vapor encontram uma superfície ?

De que depende a interação átomo/molécula ↔ superfície

- Energia cinética da molécula ?
- Energia (potencial) da superfície?
- Afinidade química entre molécula e superfície?
- Temperatura da superfície do substrato?
- Libera / absorve calor ?
- Reage ? Qual a prob. de reação?
- Quanto tempo permanece ?
(de que depende o tempo de permanência?)



15

Principais etapas do crescimento



16

6 etapas



17

Etapas da deposição de filmes:

0. geração

=> etapa prévia, evaporação da fonte, geração de material

Etapas da deposição de filmes:



1. adsorção

=> átomos chegam, interagem com a superfície e aderem (fracamente), adsorção física ou fisissorção

Etapas da deposição de filmes:



2. difusão na superfície

=> átomos movimentam-se entre os sítios superficiais

Etapas da deposição de filmes:



3. incorporação

=> ligações químicas são estabelecidas ou novas camadas são formadas soterrando os átomos adsorvidos

Etapas da deposição de filmes:



4. nucleação

=> átomos adsorvidos encontram-se e estabelecem ligações

Etapas da deposição de filmes:



5. estruturação

=> Com a união de vários núcleos forma-se o filme e a estrutura atômica é definida.

Etapas da deposição de filmes:



6. difusão de fase sólida

=> após o término da deposição pode haver difusão de espécies

Etapas da deposição de filmes:

0. geração
1. Adsorção
2. Difusão na superfície
3. Incorporação
4. Nucleação
5. Estruturação e morfologia
6. Difusão de Fase Sólida entre o filme e o substrato

Hoje (Aula 5.1):

0. geração
1. Adsorção
2. Difusão na superfície
3. Incorporação
4. Nucleação
5. Estruturação e morfologia
6. Difusão de Fase Sólida entre o filme e o substrato

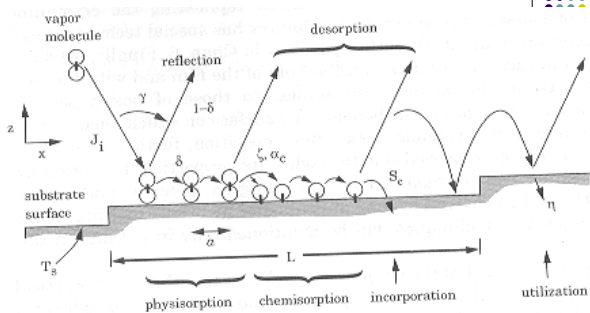
Detalhes de cada etapa...

1. adsorção

- átomos e moléculas chegam na superfície e interagem
parte adsorve na superfície

27

28

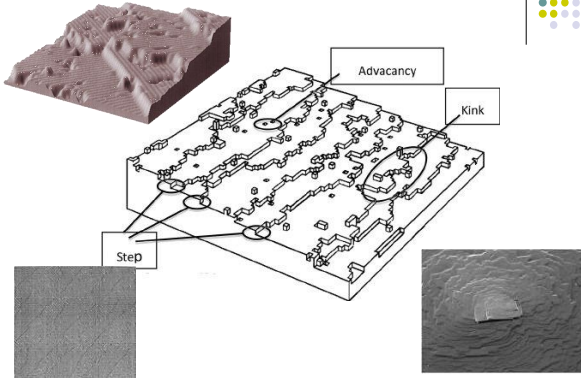


Coefficientes do Crescimento

- δ - probabilidade de armadilhamento
- $1-\delta$ - probabilidade de reflexão
- α_c - coeficiente de condensação (quimissorção)
- ζ - probabilidade de reação de quimissorção
- S_c - coeficiente de aderência ("sticking coefficient")
- η - coeficiente de utilização

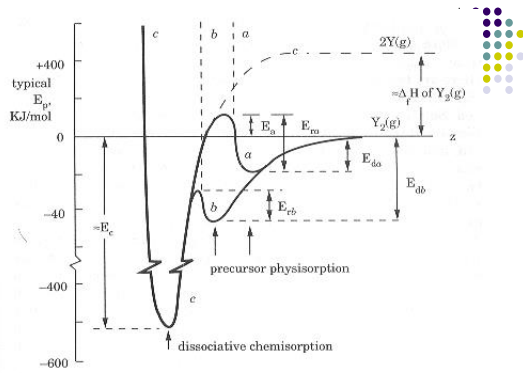
30

Complexidade das superfícies



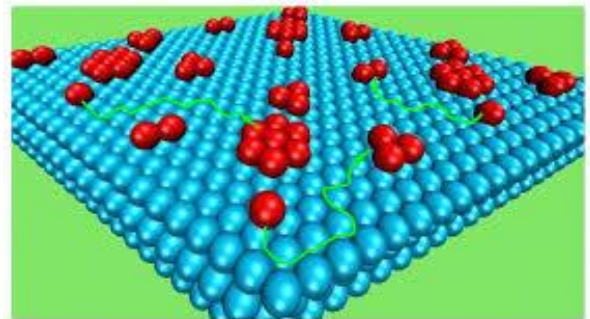
Modelo de quimissorção dissociativa

32



Adsorção (fisorção) ↔ Ligação (quimissorção)

34



- Van der Waals
(interação tipo dipolar – fraca ~ 0.1 eV/molec)

X

- Reação covalente
(troca de elétrons – forte > 1 eV/molec)

35

- Eley-Rideau → reação direta (trajetória c)

- Langmuir-Hinshelwood
→ adsorção – reação
(trajetórias a ou b – depois c)

36

$$R_i = k_i n_s = k_i n_{s0} \Theta$$

R_i - taxa de reação da i -ésima espécie com a superfície (reações/cm².s)

$$k_i = v_{oi} e^{-E_i/RT}$$

constante/taxa de reação

n_s = número de sítios ocupados / cm²

n_{s0} = número de sítios na superfície / cm²

Θ = taxa de ocupação

$$\tau = \tau_0 e^{\left(\frac{E_{lig}}{k_B T}\right)}$$

Tempo de permanência de uma molécula na superfície

$$\tau_0 \cong 10^{-13} \text{ s}$$

| | | | |
|---------------|------------|----------------------|----------|
| τ_0 | $1,00E-13$ | $e(E_b/k_B T)$ | $t(s) =$ |
| Eb(vanWaals)= | 0,1 | 54,59815 | 5,46E-12 |
| Eb(ligquims)= | 1 | 2,35E+17 | 2,35E+04 |
| $k_B T(eV) =$ | 0,025 | (T ambiente = 300 K) | |

37

R_r **Taxa de reação com a superfície**

$$R_r = \frac{J_i \delta}{1 + k_d / k_r} = J_i \left[\frac{\delta}{1 + \frac{v_{od}}{v_{or}} e^{-(E_r - E_d)/RT_s}} \right] = J_i \zeta$$

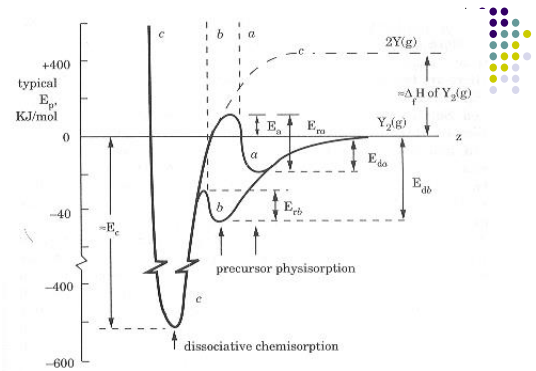
J_i = fluxo incidente

δ = fração adsorvida

k_d = taxa de dessorção

k_r = taxa de reação

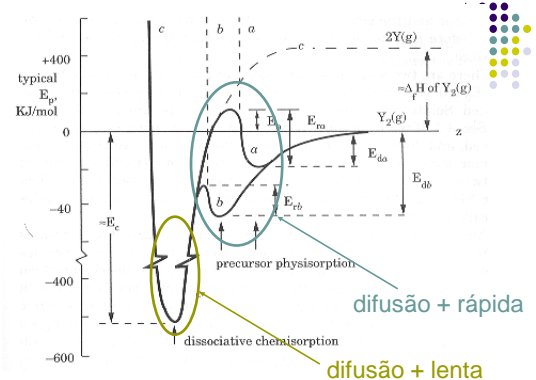
ζ = probabilidade de quimisorção



Adsorção (fisorção) ↔ Ligação (quimisorção)

2. difusão

- átomos ou moléculas se movimentam pela superfície **difundem** alguma distância, antes de serem incorporados pelo filme.



41

Adsorção (fisissorção) ↔ Ligação (quimissorção)

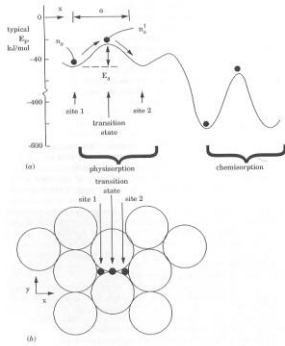
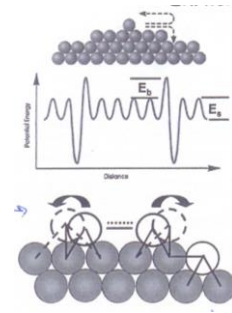


Figure 8.4 Surface diffusion: (a) potential energy vs. position x along the surface, and (b) typical adsorption sites on a surface lattice.

Difusão superficial - barreira de Schoebel-Erlich



comprimento de difusão na superfície (cm)

$$\Lambda = a \sqrt{\frac{v_{os} n_o}{J_r}} \cdot e^{-E_s/2RT}$$

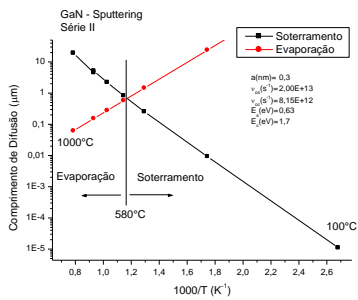
regime de soterramento (burial)

comprimento de difusão na superfície (cm)

$$\Lambda = a \sqrt{\frac{v_{os}}{v_{oc}}} \cdot e^{(E_c - E_s)/2RT}$$

regime de desorção (evaporação)

Exemplo



Incorporação



$$R_i = k_i n_s = k_i n_{s0} \Theta$$

Taxa de reação com a superfície (molec/cm².s)

$$k_i = \nu_{oi} e^{-E_i/RT}$$

constante/taxa de reação

- Eley-Rideau → reação direta (trajetória c)
- Langmuir-Hinshelwood
→ adsorção – reação
(trajetórias a ou b – depois c)
- Sticking coefficient - S_c

Exemplos de crescimento Ex: Filmes de Si por CVD

1. CVD (Deposição de Vapor Químico)

- (a) Vapores supridos adsorvem como moléculas
- (b) Moléculas sofrem reações que quebram suas ligações.
- (c) Ligações quebradas formam novas ligações com a superfície do filme.
- $\text{SiH}_4(\text{g}) \rightarrow \dots \rightarrow \text{SiH}_4(\text{a}) \rightarrow \text{Si}(\text{c}) + 2\text{H}_2(\text{g})$

(a) = adsorvido (b) = condensado (g) = gás / vapor

Exemplo: Compostos ZnSe : Fontes Zn(g) e Se(g)

• 2. Deposição de Compostos

- (a) Fontes separadas de suprimento (Ex: AB, ZnSe)
- (b) O vapor que adsorve liga-se na superfície muito mais fortemente ao outro componente

